Wuxi I-CORE Electronics Co., Ltd.

编号: AiP74HC/HCT4066-AX-LJ-E010

第 1 页 共 26 页

版本: 2023-04-B1

AiP74HC/HCT4066 4路双向开关

产品说明书

说明书发行履历:

版本	发行时间	新制/修订内容
2020-10-A1	2020-10	新制
2023-04-B1	2023-04	更换模板



无锡中微爱芯电子有限公司 Wuxi I-CORE Electronics Co., Ltd.

编号: AiP74HC/HCT4066-AX-LJ-E010

1、	、概 述			
	、功能框图及引脚说明			
	2.1、功能框图			
	2.2、引脚排列图			
	2.3、引脚说明			
	2.4、功能表			
3、	、电特性			
	3.1、极限参数			
	3.2、推荐使用条件			
	3.3、电气特性			10
	3.3.2、直流参数	2		 12
4、	、测试线路			 10
	4.1、直流测试线路 1.			 10
	4.2、直流测试线路 2.			 10
	4.3、交流测试波形			
	4.4、测试点			 18
	4.5、交流测试线路 1.	,		
	4.6、测试数据			 19
	4.7、交流测试线路 2			 20
5、	、封装尺寸与外形图		•••••	 23
	5.1、DIP14 外形图与	, 封装尺寸		 23
	5.2、 SOP 14 外形图与	封装尺寸		 24
	5.3、TSSOP14 外形图]与封装尺寸		 25
6,	、声明及注意事项			
	6.1、产品中有毒有害	物质或元素的名称及	及含量	 20
	6.2、注意			 26



无锡中微爱芯电子有限公司 Wuxi I-CORE Electronics Co., Ltd.

编号: AiP74HC/HCT4066-AX-LJ-E010

第 3 页 共 26 页

版本: 2023-04-B1



Wuxi I-CORE Electronics Co., Ltd.

编号: AiP74HC/HCT4066-AX-LJ-E010

1、概 述

AiP74HC/HCT4066 是一个四路双向模拟开关。每个开关具有两个输入/输出端(nY 和 nZ)和一个高电平有效的使能输入(nE)。当 nE 为低电平时,模拟开关关闭。输入包括钳位二极管。这样就可以使用限流电阻将输入接口连接到超过 V_{CC} 的电压。

其主要特点如下:

• 输入电平nE输入:

- AiP74HC4066: CMOS 电平
- AiP74HCT4066: TTL电平
- ●低导通电阻:
- 在 V_{CC}=4.5V 时 50Ω (典型值)
- 在 V_{CC}=6.0V 时 45Ω (典型值)
- 在 V_{CC} =9.0V时35 Ω (典型值)
- 工作环境温度范围: -40℃~+125℃
- 封装形式: DIP14/SOP14/TSSOP14





Wuxi I-CORE Electronics Co., Ltd.

编号: AiP74HC/HCT4066-AX-LJ-E010

第 5 页 共 26 页

版本: 2023-04-B1

订购信息:

表 835-11-B4

管装:

产品料号	封装形式	打印标识	管装数	盒装管	盒装数	备注说明
AiP74HC4066DA14.TB	DIP14	74HC4066	25 PCS/管	40 管/盒	1000 PCS/盒	塑封体尺寸: 19.0mm×6.4mm 引脚间距: 2.54mm
AiP74HCT4066DA14.TB	DIP14	74HCT4066	25 PCS/管	40 管/盒	1000 PCS/盒	塑封体尺寸: 19.0mm×6.4mm 引脚间距: 2.54mm
AiP74HC4066SA14.TB	SOP14	74HC4066	50 PCS/管	200 管/盒	10000 PCS/盒	塑封体尺寸: 8.7mm≤3.9mm 引脚间距: 1.27mm
AiP74HCT4066SA14.TB	SOP14	74HCT4066	50 PCS/管	200 管/盒	10000 PCS/盒	塑封体尺寸: 8.7mm×3.9mm 引脚间距: 1.27mm
AiP74HC4066TA14.TB	TSSOP14	74HC4066	96 PCS/管	200 管/盒	19200 PCS/盒	塑封体尺寸: 5.0mm×4.4mm 引脚间距: 0.65mm
AiP74HCT4066TA14.TB	TSSOP14	74HCT4066	96 PCS/管	200 管/盒	19200 PCS/盒	塑封体尺寸: 5.0mm×4.4mm 引脚间距: 0.65mm



无锡中微爱芯电子有限公司

Wuxi I-CORE Electronics Co., Ltd.

编号: AiP74HC/HCT4066-AX-LJ-E010

第6页共26页

版本: 2023-04-B1

编带:

产品料号	封装形式	打印标识	编带盘装数	编带盒装数	备注说明
AiP74HC4066SA14.TR	SOP14	74HC4066	4000PCS/盘	8000PCS/盒	塑封体尺寸: 8.7mm×3.9mm 引脚间距: 1.27mm
AiP74HCT4066SA14.TR	SOP14	74HCT4066	4000PCS/盘	8000PCS/盒	塑封体尺寸: 8.7mm×3.9mm 引脚间距: 1.27mm
AiP74HC4066TA14.TR	TSSOP14	74HC4066	5000PCS/盘	10000PCS/盒	塑封体尺寸: 5.0mm×4.4mm 引脚间距: 0.65mm
AiP74HCT4066TA14.TR	TSSOP14	74HCT4066	5000PCS/盘	10000PCS/盒	塑封体尺寸: 5.0mm×4.4mm 引脚间距: 0.65mm

注: 如实物与订购信息不一致,请以实物为准。

Wuxi I-CORE Electronics Co., Ltd.

编号: AiP74HC/HCT4066-AX-LJ-E010

2、功能框图及引脚说明

2.1、功能框图

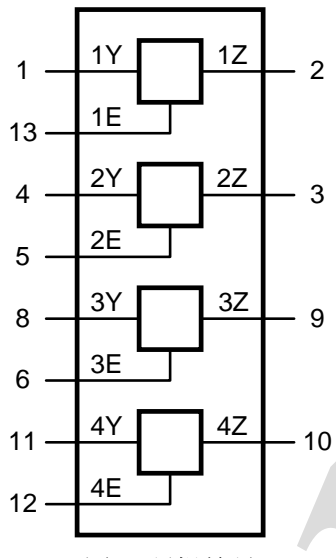


图 1 逻辑符号

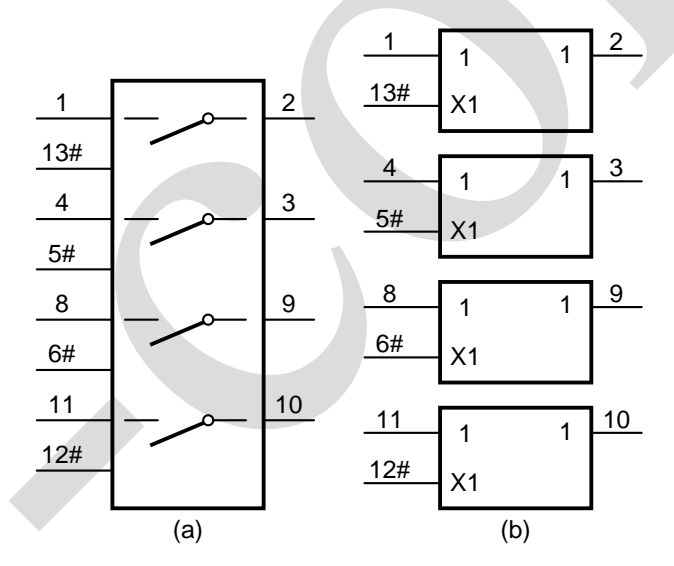


图 2 IEC 逻辑符号

无锡中微爱芯电子有限公司 Wuxi I-CORE Electronics Co., Ltd.

编号: AiP74HC/HCT4066-AX-LJ-E010

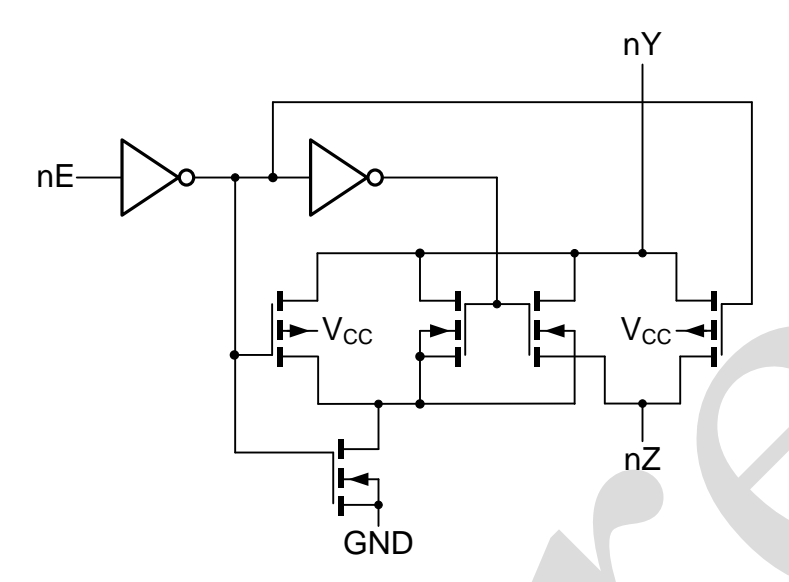
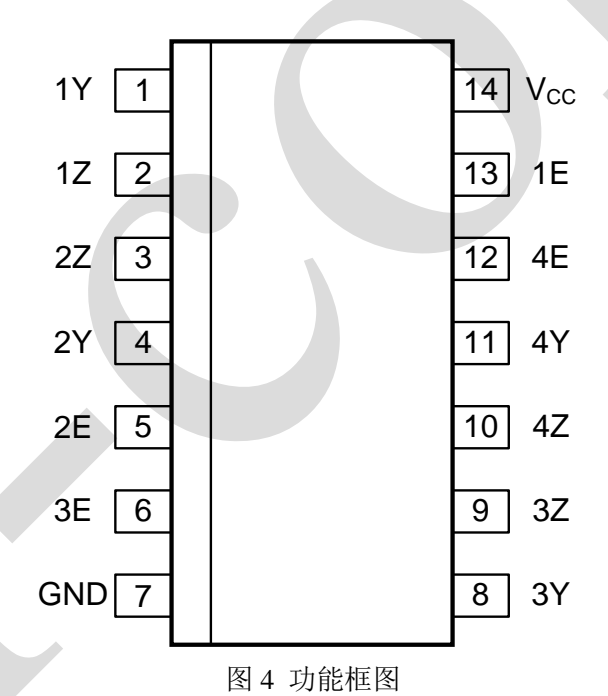


图 3 逻辑框图 (单个开关)

2.2、引脚排列图





Wuxi I-CORE Electronics Co., Ltd.

编号: AiP74HC/HCT4066-AX-LJ-E010

2.3、引脚说明

表 835-11-B4

引脚	符号	功能
1	1Y	独立输入或输出
2	1Z	独立输入或输出
3	2Z	独立输入或输出
4	2Y	独立输入或输出
5	2E	使能输入(高电平有效)
6	3E	使能输入(高电平有效)
7	GND	地 (0V)
8	3Y	独立输入或输出
9	3Z	独立输入或输出
10	4Z	独立输入或输出
11	4Y	独立输入或输出
12	4E	使能输入(高电平有效)
13	1E	使能输入(高电平有效)
14	V_{CC}	电源电压

2.4、功能表

输入	开关
nE	
Н	导通
L	截止

注: H=高电平; L=低电平

3、电特性

3.1、极限参数

除非另有规定,T_{amb}=25℃,GND=0V

参数名称	符号	条件	-	最小	最大	单 位
电源电压	V_{CC}	[1]		-0.5	+11.0	V
输入钳位电流	I_{IK}	V _I <-0.5V 或 V _I	$>V_{CC}+0.5V$		±20	mA
开关钳位电流	I_{SK}	V _{SW} <-0.5V 或 V _S	$_{\rm W}>V_{\rm CC}+0.5V$		±20	mA
开关电流	I_{SW}	V_{SW} =-0.5 $V \sim V_{CC}$ +0.5 V			±25	mA
负电源电流	I_{EE}		_		±20	mA
正电源电流	I_{CC}				50	mA
地电流	$I_{ m GND}$	_		_	-50	mA
贮存温度	T_{stg}	_		-65	+150	$^{\circ}$ C
总功耗	P _{tot}	_		_	500	mW
功耗	P	每个开关		_	100	mW
焊接温度	т	10 秒	DIP	24	4 5	$^{\circ}$
F1女仙/文	焊接温度 T _L	10 1/9	10 秒 SOP/TSSOP		50	$^{\circ}$



Wuxi I-CORE Electronics Co., Ltd.

编号: AiP74HC/HCT4066-AX-LJ-E010

注:

[1] 为避免从 Z端汲取 V_{CC} 电流,当开关电流流入 Y_{n} 端时,双向开关两端的电压降不得超过 $0.4V_{cC}$ 如果开关电流流入 Z 端,则不会有 V_{CC} 电流从 Y_{n} 端流出,在这种情况下,开关两端的压降没有限制,但 Y_{n} 和 Z 的电压不得超过 V_{CC} 或 GND。

3.2、推荐使用条件

表 835-11-B4

参数名称	符号	条 件	最小	典型	最大	单 位
		AiP74HC4066				
电源电压	V _{CC}	_	3.0	5.0	9.0	V
输入电压	$V_{\rm I}$	_	0		V_{CC}	V
开关电压	V_{SW}	_	0		V _{CC}	V
工作环境温度	T _{amb}	_	-40		+125	$^{\circ}$ C
	I	AiP74HCT4066				
电源电压	V _{CC}		4.5	5.0	5.5	V
输入电压	V _I		0	_	V_{CC}	V
开关电压	V_{SW}		GND	_	V_{CC}	V
工作环境温度	T _{amb}		-40	_	+125	$^{\circ}$

3.3、电气特性

3.3.1、直流参数 1

(除非另有规定, T_{amb}=-40℃~+85℃, GND=0V)

参数名称	符号	测试条	件	最小	典型[1]	最大	单 位
		W W CND	$V_{CC}=4.5V$	_	54		Ω
导通电阻(峰值)	R _{ON(peak)}	$V_{is}=V_{CC}\sim GND;$ $I_{SW}=1000uA$	$V_{CC}=6.0V$	_	42		Ω
		1SW=1000uA	V _{CC} =9.0V	_	32		Ω
		W CND	$V_{CC}=4.5V$		35		Ω
		V _{is} =GND; I _{SW} =1000uA	$V_{CC}=6.0V$		27		Ω
导通电阻(轨值)	D	15W=1000d/1	$V_{CC}=9.0V$	—	20		Ω
寸地电阻(机阻)	R _{ON(rail)}	V V	$V_{CC}=4.5V$	—	42		Ω
		$V_{is}=V_{CC}; \ I_{SW}=1000uA$	$V_{CC}=6.0V$		35	_	Ω
		$I_{SW}=1000uA$	$V_{CC}=9.0V$		20	_	Ω
任意两个通道导			$V_{CC}=4.5V$		5		Ω
通电阻的差值	ΔR_{ON}	$V_{is}=V_{CC}\sim GND$	$V_{CC}=6.0V$		4	_	Ω
地电阻的左直		P	$V_{CC}=9.0V$		3	_	Ω
		AiP74	HC4066				
		V _{CC} =4.5	V	3.15	2.4		V
高电平输入电压	V_{IH}	V _{CC} =6.0	V	4.2	3.2		V
		V _{CC} =9.0	V _{CC} =9.0V		4.7		V
		V _{CC} =4.5	V	_	2.1	1.35	V
低电平输入电压	$V_{ m IL}$	V _{CC} =6.0	V	_	2.8	1.80	V
		V _{CC} =9.0V	V	_	4.3	2.70	V
输入漏电流	I_{I}	V _I =V _{CC} 或GND	$V_{CC}=6.0V$	_		±1.0	uA
1削/1/1削 巳 /ル	ıĬ	v I— v CC 致 GND	$V_{CC}=9.0V$		_	±2.0	uA



无锡中微爱芯电子有限公司

Wuxi I-CORE Electronics Co., Ltd.

编号: AiP74HC/HCT4066-AX-LJ-E010

截止状态漏电流	$I_{S(OFF)}$	V _{CC} =9.0V; V _I =V _{IH} 或 V _{IL} ; V _{SW} =V _{CC} -GND; 见图 6	每个沟道	_	_	±1.0	uA
导通状态漏电流	I _{S(ON)}	V_{CC} =9.0 V ; V_I = V_{IH} 或 V_{IL} ; $ V_{SW} $ = V_{CC} -GND; 见图 7		_		±1.0	uA
静态电流	T	V _I =V _{CC} 或GND; V _{is} =GND或V _{CC} ;	V _{CC} =6.0V	_	_	20.0	uA
一	I_{CC}	V _{is} =GND 或 V _{CC} ; V _{os} =V _{CC} 或 GND	V _{CC} =9.0V	_		40.0	uA
输入电容	C_{I}	_			3.5	1	pF
开关电容	C_{SW}	_			8		pF
AiP74HCT4066							
高电平输入电压	V_{IH}	V_{CC} =4.5 V ~5.5 V		2.0	1.6	_	V
低电平输入电压	$V_{\rm IL}$	V_{CC} =4.5 V \sim	-5.5V		1.2	0.8	V
输入漏电流	I_{I}	V _I =V _{CC} 或GND;	V _{CC} =5.5V			±1.0	uA
截止状态漏电流	$I_{S(OFF)}$	V_{CC} =5.5 V ; V_{I} = V_{IH} 或 V_{IL} ; $ V_{SW} $ = V_{CC} - GND ; 见图 6	每个沟道		_	±1.0	uA
导通状态漏电流	$I_{S(\mathrm{ON})}$	V_{CC} =5.5V; V_{I} =V $ V_{SW} $ = V_{CC} -GNE		_		±1.0	uA
静态电流	I_{CC}	$V_{\rm I}$ = $V_{\rm CC}$ 或GND; Vis=GND 或 $V_{\rm CC}$; $V_{\rm os}$ = $V_{\rm CC}$ 或GND; $V_{\rm CC}$ = $4.5V\sim5.5V$)	_	20.0	uA
串通电流	ΔI_{CC}	每个输入; V_{I} = V_{CC} -2.1 V ; 其他输入在 V_{CC} 或 GND 上; V_{CC} =4.5 V ~5.5 V		_	100	450	uA
输入电容	C_{I}			_	3.5		pF
开关电容	C_{SW}				8		pF

注:

[1] 所有典型值均在T_{amb}=25℃时测量。

江苏省无锡市滨湖区建筑西路 777 号无锡国家集成电路设计中心 B4 栋 http://www.i-core. cn 邮编: 214072

第 11 页 共 26 页 版本: 2023-04-B1



Wuxi I-CORE Electronics Co., Ltd.

编号: AiP74HC/HCT4066-AX-LJ-E010

3.3.2、直流参数 2

表 835-11-B4

(除非另有规定,T_{amb}=-40℃~+125℃,GND=0V)

参数名称	符号	测试条	件	最小	典型	最大	单 位
		U U CND	V _{CC} =4.5V	118	_	142	Ω
导通电阻(峰值)	R _{ON(peak)}	$V_{is}=V_{CC}\sim GND;$ $I_{SW}=1000uA$	V _{CC} =6.0V	105	_	126	Ω
		I _{SW} =1000uA	V _{CC} =9.0V	88		105	Ω
			V _{CC} =4.5V	95		115	Ω
		V _{is} =GND;	V _{CC} =6.0V	82		100	Ω
P.圣中四/科体)	D	$I_{SW}=1000uA$	V _{CC} =9.0V	70		85	Ω
导通电阻(轨值)	R _{ON(rail)}	** **	V _{CC} =4.5V	106		128	Ω
		$V_{is}=V_{CC};$	V _{CC} =6.0V	94	_	113	Ω
		$I_{SW}=1000uA$	V _{CC} =9.0V	78	—	95	Ω
		AiP74	HC4066				
		V _{CC} =4.5	īV	3.15	7		V
高电平输入电压	V_{IH}	V _{CC} =6.0	V	4.2		_	V
		V _{CC} =9.0	V	6.3	_		V
		V _{CC} =4.5			_	1.35	V
低电平输入电压	$V_{ m IL}$	V _{CC} =6.0		_		1.80	V
		V _{CC} =9.0	V	_		2.70	V
44 7 7P T 14	_		V _{CC} =6.0V			±1.0	uA
输入漏电流	I_{I}	V _I =V _{CC} 或GND	V _{CC} =9.0V		_	±2.0	uA
截止状态漏电流	$I_{S(OFF)}$	V_{CC} =9.0 V ; V_{I} = V_{IH} 或 V_{IL} ; $ V_{SW} $ = V_{CC} -GND; 见图 6	每个沟道	_	_	±1.0	uA
导通状态漏电流	$I_{S(ON)}$	$V_{CC}=9.0V; V_{I}=V_{CC}-GNE$		_	_	±1.0	uA
静态电流	I_{CC}	V _I =V _{CC} 或GND; V _{is} =GND或V _{CC} ;	$V_{CC} = 6.0V$ $V_{CC} = 9.0V$	_	_	40.0 80.0	uA uA
		V _{os} =V _{CC} 或GND V _{CC} =9.0V AiP74HCT4066				00.0	ur I
高电平输入电压	V _{IH}	$V_{\rm CC}$ =4.5V \sim		2.0			V
低电平输入电压	V _{II}	$V_{CC}=4.5V$ $V_{CC}=4.5V$				0.8	V
输入漏电流	II	V _I =V _{CC} 或GND;		_		±1.0	uA
截止状态漏电流	I _{S(OFF)}	V _I =V _{CC} 或 GND; V _{CC} =5.5V; V _I =V _{IH} 或 V _{IL} ; V _{SW} =V _{CC} -GND; 见图 6	每个沟道	_	_	±1.0	uA
导通状态漏电流	$I_{S(ON)}$	V _{CC} =5.5V; V _I =V _{IH} 或 V _{IL} ; V _{SW} =V _{CC} -GND; 见图 7		_	_	±1.0	uA
静态电流	I_{CC}	V _I =V _{CC} 或 C Vis=GND 或 V _{os} =V _{CC} 或 C V _{CC} =4.5V~	V_{CC} ; GND;	_	_	40.0	uA



Wuxi I-CORE Electronics Co., Ltd.

编号: AiP74HC/HCT4066-AX-LJ-E010

串通电流 ΔI _{CC} 每个输入; V _I =V _{CC} -2.1V; 其他输入在 V _{CC} 或 GND 上; V _{CC} =4.5V~5.5V	_	_	490	uA
--	---	---	-----	----

3.3.3、交流参数 1

表 835-11-B4

(除非另有规定, T_{amb} =-40°C \sim +85°C,GND=0V, t_r = t_f =6ns, C_L =50pF)

参数名称	符号	测试象	·····································	最小	典型[1]	最大	单 位		
AiP74HC4066									
	_	nY到nZ或nZ到nY;	V _{CC} =4.5V	_	3	15	ns		
传输延时	t _{PLH} ,		V _{CC} =6.0V	_	2	13	ns		
	$t_{ m PHL}$	$R_L=\infty\Omega$; 见图8	V _{CC} =9.0V	_	2	10	ns		
			V _{CC} =4.5V	_	13	25	ns		
开启时间	t _{PZH} ,	nE到nY或nZ;	V _{CC} =5.0V; C _L =15pF		11		ns		
	t_{PZL}	见图9	V _{CC} =6.0V	N —	10	21	ns		
			V _{CC} =9.0V		8	16	ns		
	$t_{ m PLZ}, \ t_{ m PHZ}$	nE 到 nY 或 nZ; 见图 9	$V_{CC}=4.5V$		16	38	ns		
关断时间			$V_{CC}=5.0V;$ $C_{L}=15pF$	_	13	_	ns		
			V _{CC} =6.0V		13	33	ns		
		V _{CC} =9.0V			16	26	ns		
		AiP74	4HCT4066						
传输延时	$t_{ m PLH}, \ t_{ m PHL}$	nY到nZ或nZ到nY; R _L =∞Ω;见图 8	V _{CC} =4.5V	_	3	15	ns		
			V _{CC} =4.5V	_	12	12 30			
开启时间	$t_{ m PZH}, \ t_{ m PZL}$	t _{PZH} , nE 到 nY 或 nZ; t _{PZL} 见图 9	V_{CC} =5.0V; C_{L} =15pF	_	12	_	ns		
	+	nE到nY或nZ;	V _{CC} =4.5V	_	20	44	ns		
关断时间	$t_{ m PLZ}, \ t_{ m PHZ}$	见图9	V_{CC} =5.0V; C_L =15pF		16		ns		

[1] 所有典型值均在T_{amb}=25℃时测量。

江苏省无锡市滨湖区建筑西路 777 号无锡国家集成电路设计中心 B4 栋 http://www.i-core. cn 邮编: 214072

第 13 页 共 26 页 版本: 2023-04-B1



Wuxi I-CORE Electronics Co., Ltd.

编号: AiP74HC/HCT4066-AX-LJ-E010

3.3.4、交流参数 2

表 835-11-B4

(除非另有规定, T_{amb} =-40°C~+125°C,GND=0V, t_r = t_f =6ns, C_L =50pF)

参数名称	符号	测试条	最小	典型	最大	单 位				
AiP74HC4066										
	t _{PLH} ,	nY到nZ或nZ到nY;	V _{CC} =4.5V	_	_	18	ns			
传输延时		$R_L=\infty\Omega$; 见图8	V _{CC} =6.0V	_	_	15	ns			
	$t_{ m PHL}$		V _{CC} =9.0V	_	_	12	ns			
	t _{PZH} ,	nE到nY或nZ;	V _{CC} =4.5V	_	_	30	ns			
开启时间		见图9	$V_{CC}=6.0V$	_		26	ns			
	t_{PZL}	から	V _{CC} =9.0V — 2	20	ns					
	,	~E 到 "V 武 "7	$V_{CC}=4.5V$	_		45	ns			
关断时间	t_{PLZ} ,	nE 到 nY 或 nZ; 见图 9	V _{CC} =6.0V	_		38	ns			
	$t_{ m PHZ}$	地図9	V _{CC} =9.0V			30	ns			
		AiP74	4HCT4066							
传输延时	t _{PZH} ,	nY到nZ或nZ到nY;	V _{CC} =4.5V	V _{cc} =4 5V		18	ns			
14 400 (2011)	t_{PZL}	R _L =∞Ω; 见图 8	VCC=1.5 V			10	113			
开启时间	$t_{ m PZH}, \ t_{ m PZL}$	nE 到 nY 或 nZ; 见图 9	V _{CC} =4.5V			36	ns			
关断时间	$t_{ m PLZ}, \ t_{ m PHZ}$	nE 到 nY 或 nZ; 见图 9	V _{CC} =4.5V			53	ns			



Wuxi I-CORE Electronics Co., Ltd.

编号: AiP74HC/HCT4066-AX-LJ-E010

3.3.5、交流参数 3

表 835-11-B4

(除非另有规定, T_{amb}=25℃, GND=0V, C_L=50pF)

参数名称	符号	测试条	件	最小	典型	最大	单 位
		$f_i=1kHz; R_L=10k\Omega;$	V _{CC} =4.5V; V _I =4.0V(p-p)		0.04		%
总谐波失真	THD	C _L =50pF; 见图 11	V _{CC} =9.0V; V _I =8.0V(p-p)		0.02		%
· 总省次大具	ТНД	$f_i=1kHz; R_L=10k\Omega;$	V _{CC} =4.5V; V _I =4.0V(p-p)		0.12	1	%
		C _L =50pF; 见图 11	V _{CC} =9.0V; V _I =8.0V(p-p)	_	0.06		%
隔离	a	$R_L = 600\Omega; C_L = 50pF;$	$V_{CC}=4.5V$	_	-50		dB
(关闭状态)	$lpha_{ m iso}$	f _i =1MHz; 见图 12 ^[1]	$V_{CC}=9.0V$		-50		dB
-3dB 频率响	$f_{(-3dB)}$	$R_L=50\Omega$; $C_L=10pF$;	V _{CC} =4.5V		180		MHz
应		见图 13 ^[2]	V _{CC} =9.0V		200		MHz
串扰电压	$ m V_{ct}$	在数字输入和开关之 间(峰峰值);	V _{CC} =4.5V		110		mV
中仉巴压	v ct	R_L =600 Ω ; C_L =50 pF ; f_i =1 MHz ; 见图 14	$V_{CC} = 9.0V$	F	220		mV
串扰	Xtalk	在开关之间; R _L =600Ω; C _L =50pF;	V _{CC} =4.5V	-)	-60	_	dB
	Ataik	f _i =1MHz; 见图 15 ^[1]	V _{CC} =9.0V	_	-60		dB

注:

- [1] 将输入电压 V_{is} 调整到0dBm电平(0dBm=1mW,负载为 600Ω)
- [2] 在1MHz的 V_{os} 上将输入电压 V_{is} 调整到0dBm电平(0dBm=1mW,负载为 50Ω)。设置后, f_i 增加, V_{os} 处的读数为-3dB。



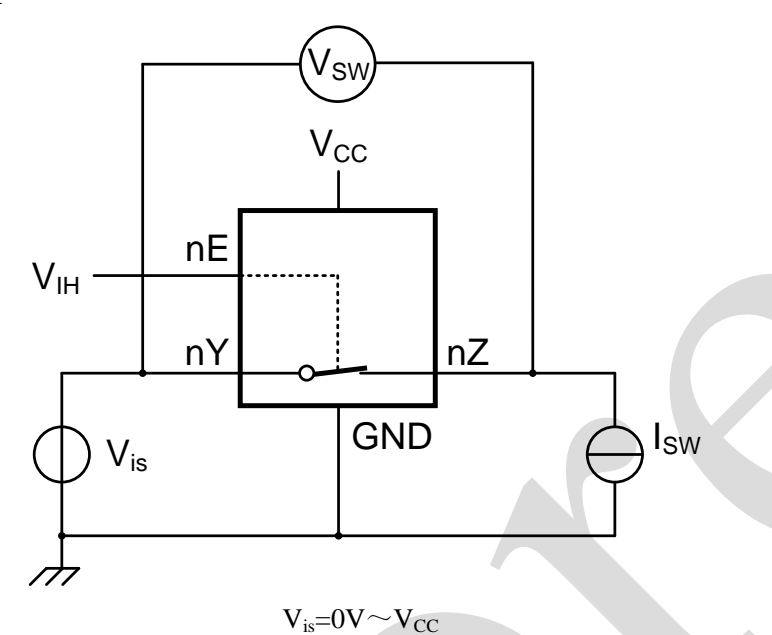
Wuxi I-CORE Electronics Co., Ltd.

编号: AiP74HC/HCT4066-AX-LJ-E010

4、测试线路

4.1、直流测试线路1

表 835-11-B4



R_{ON}=V_{SW}/I_{SW} 图5 测量R_{ON}的测试电路

4.2、直流测试线路 2

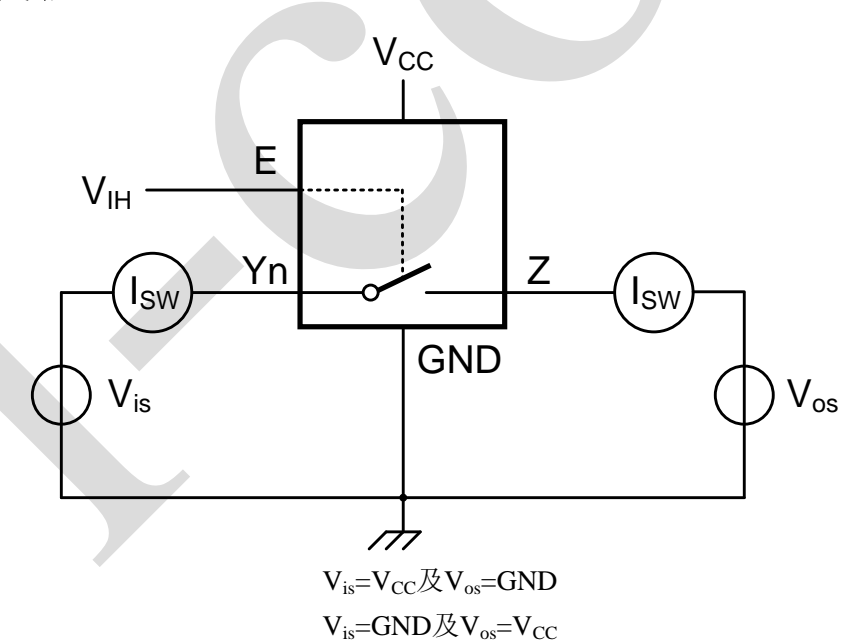
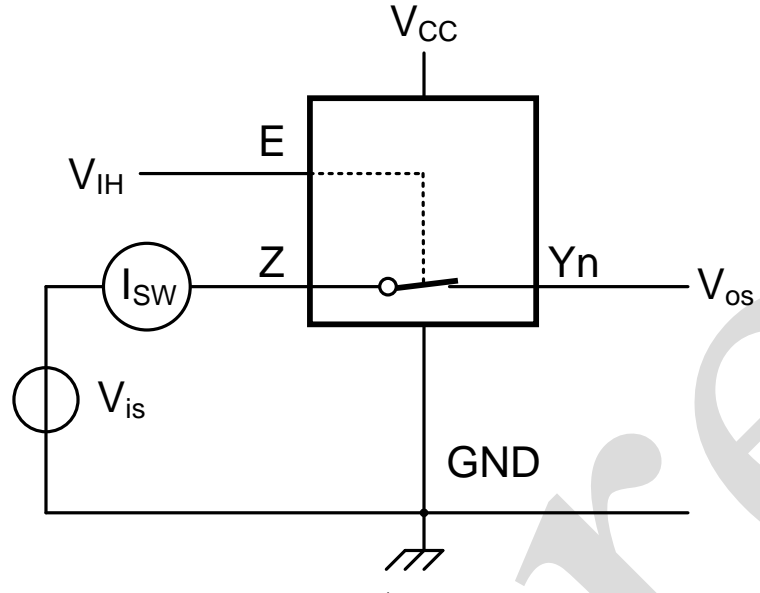


图6 测量截止状漏态电流的测试电路





 $V_{is}=V_{CC}及V_{os}=open$ V_{is}=GND及V_{os}=open

图7 测量导通状态漏电流的测试电路

4.3、交流测试波形

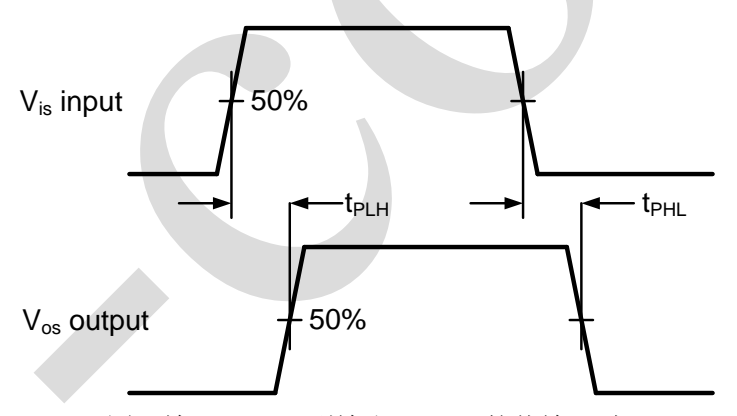


图8 输入 (V_{is}) 到输出 (V_{os}) 的传输延时

无锡中微爱芯电子有限公司 Wuxi I-CORE Electronics Co., Ltd.

编号: AiP74HC/HCT4066-AX-LJ-E010

第 18 页 共 26 页

版本: 2023-04-B1

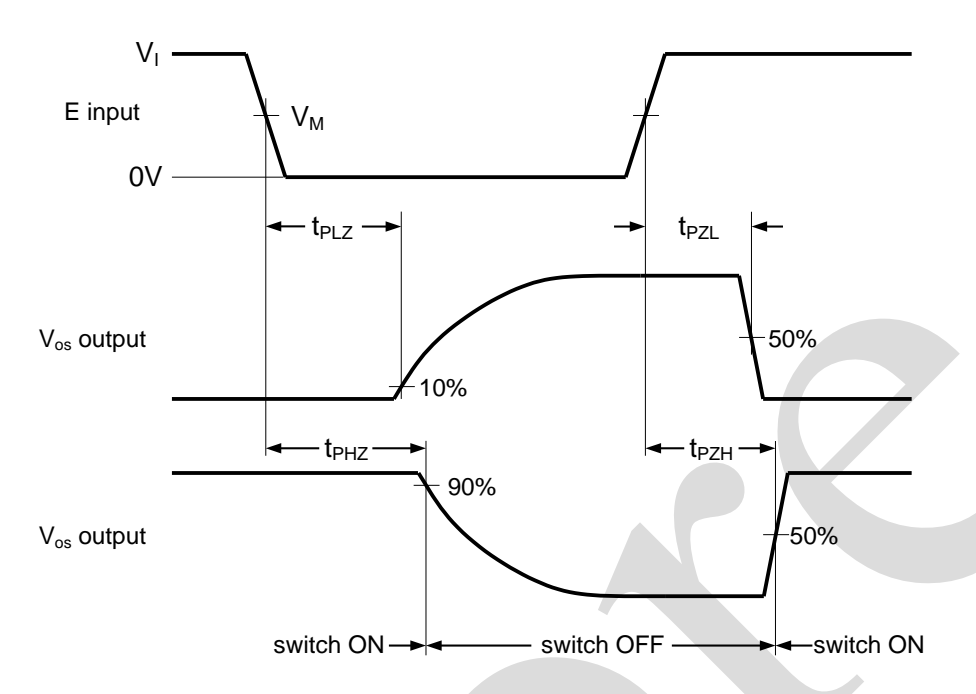


图9 开启和关闭时间

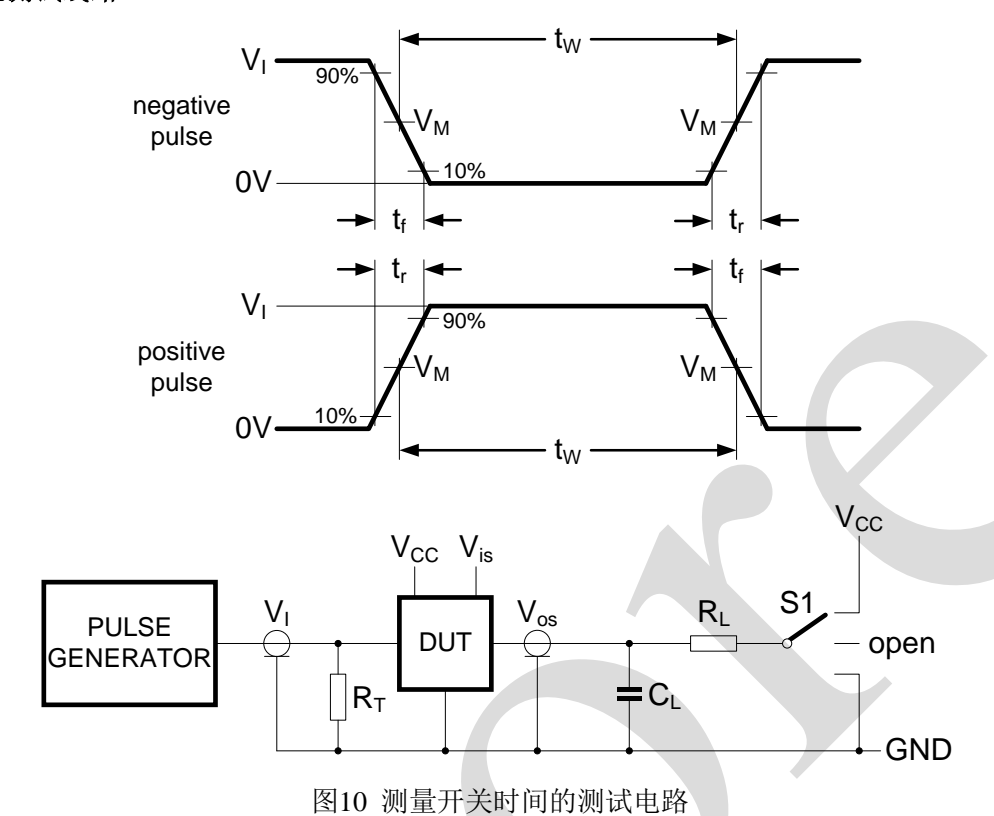
4.4、测试点

类型	$\mathbf{V_{I}}$	$\mathbf{V}_{\mathbf{M}}$
AiP74HC4066	V_{CC}	$0.5V_{\rm CC}$
AiP74HCT4066	3.0V	1.3V

Wuxi I-CORE Electronics Co., Ltd.

编号: AiP74HC/HCT4066-AX-LJ-E010

4.5、交流测试线路1



测试电路的定义:

R_T=终端电阻须与信号发生器的输出阻抗 Z_o匹配

C_L=负载电容,包括探针、夹子上的电容

R_L=负载电阻

S1=测试选择开关

4.6、测试数据

		输入		输出			
测试	控制 E		4 4	开关 Z (Yn)		S1 位置	
	$\mathbf{V_{I}}^{[1]}$	$\mathbf{V_{is}}$	t_r , t_f	C_{L}	\mathbf{R}_{L}		
t_{PHL}, t_{PLH}	GND	$GND{\sim}V_{CC}$	6ns	50pF	1	open	
t_{PZH} , t_{PHZ}	$GND \sim V_{CC}$	V_{CC}	6ns	50pF, 15pF	1kΩ	GND	
t_{PZL}, t_{PLZ}	$GND \sim V_{CC}$	GND	6ns	50pF, 15pF	1kΩ	V_{CC}	

注:

[1] AiP74HCT4066: 最大输入电压 V_I=3.0V

Wuxi I-CORE Electronics Co., Ltd.

编号: AiP74HC/HCT4066-AX-LJ-E010

4.7、交流测试线路 2

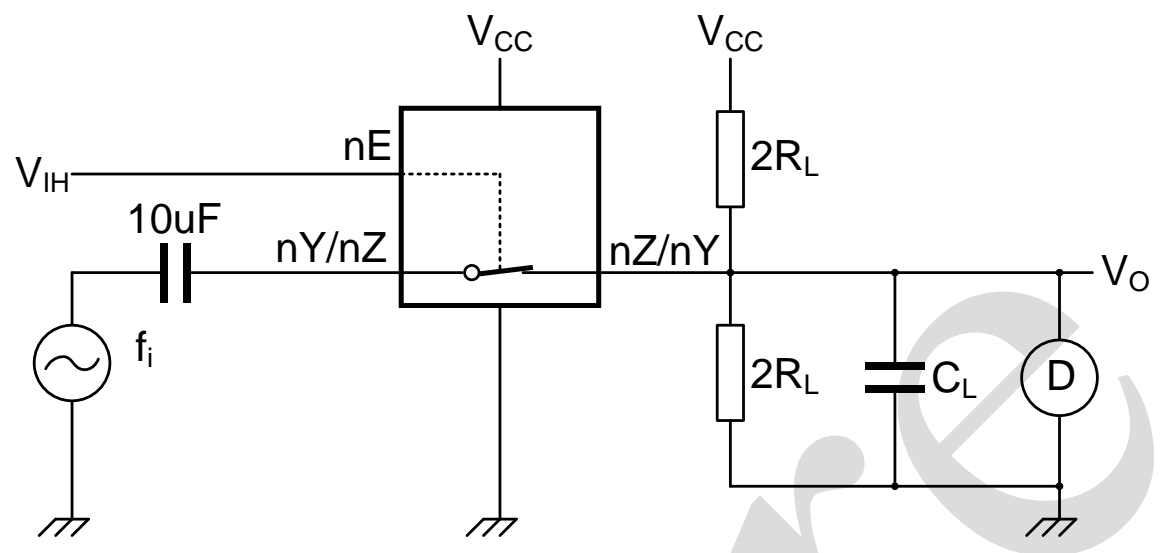
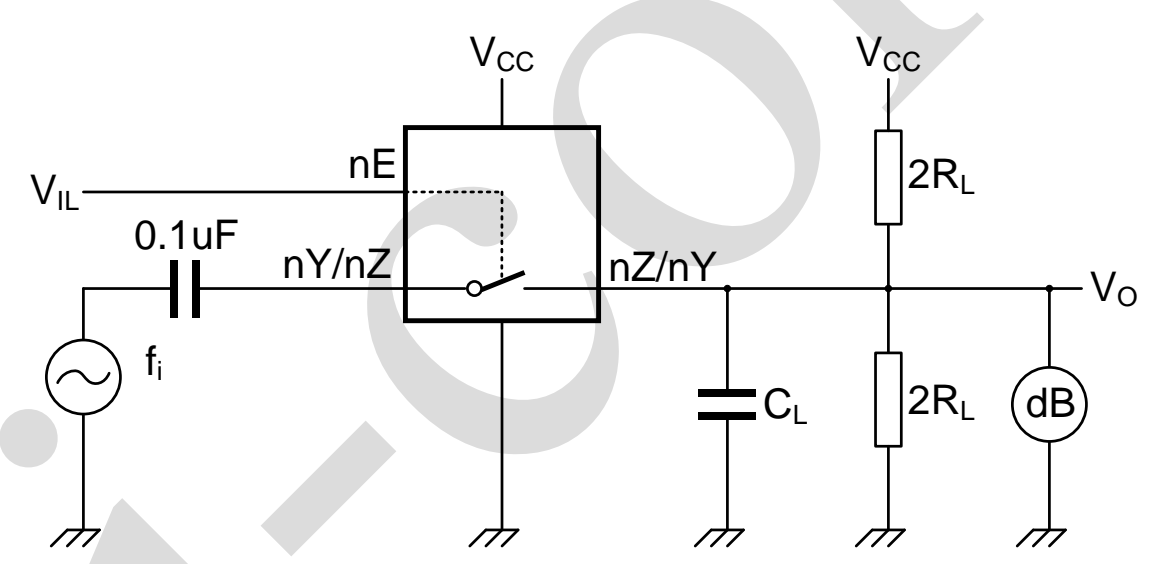


图 11 测量总谐波失真的测试电路

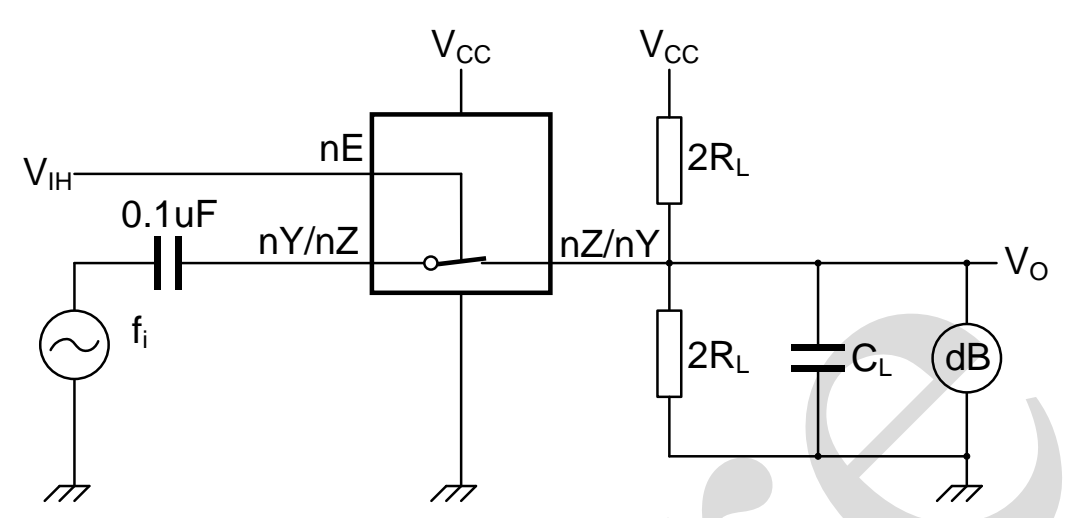


 V_{CC} =4.5V; GND=0V; R_L =600 Ω ; R_{source} =1 $k\Omega$ 图12 测试隔离(关闭状态)的测试电路

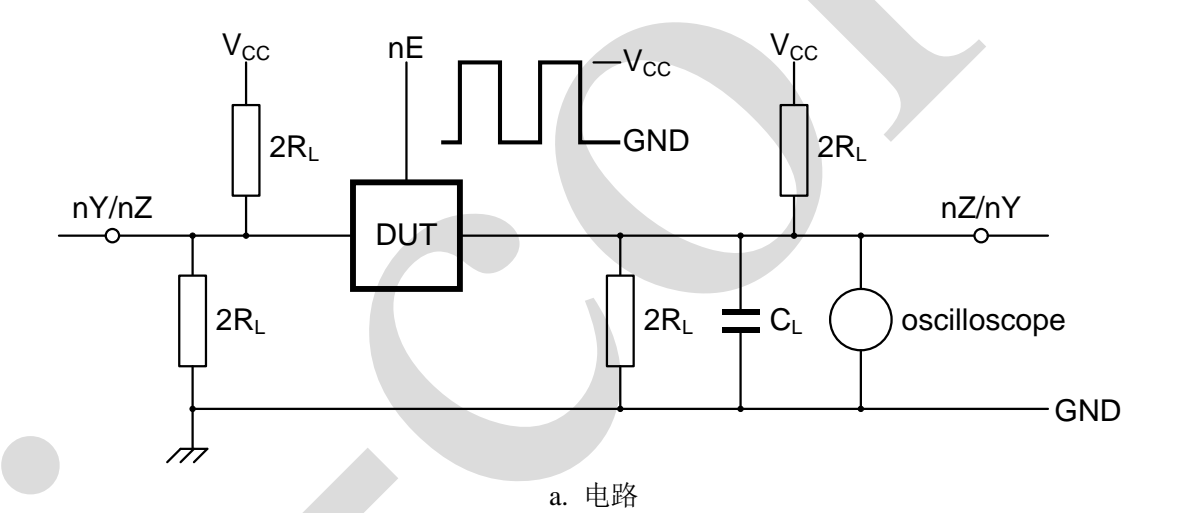
无锡中微爱芯电子有限公司

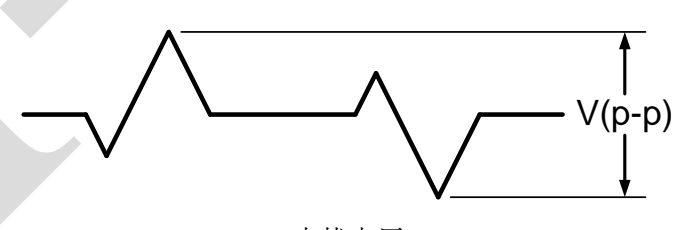
Wuxi I-CORE Electronics Co., Ltd.

编号: AiP74HC/HCT4066-AX-LJ-E010



 V_{CC} =4.5V;GND=0V; R_L =50 Ω ; R_{source} =1 $k\Omega$ 图13 -3dB频率响应





b. 串扰电压

图14 测试串扰电压(数字输入和开关之间)的测试电路

无锡中微爱芯电子有限公司 Wuxi I-CORE Electronics Co., Ltd.

编号: AiP74HC/HCT4066-AX-LJ-E010

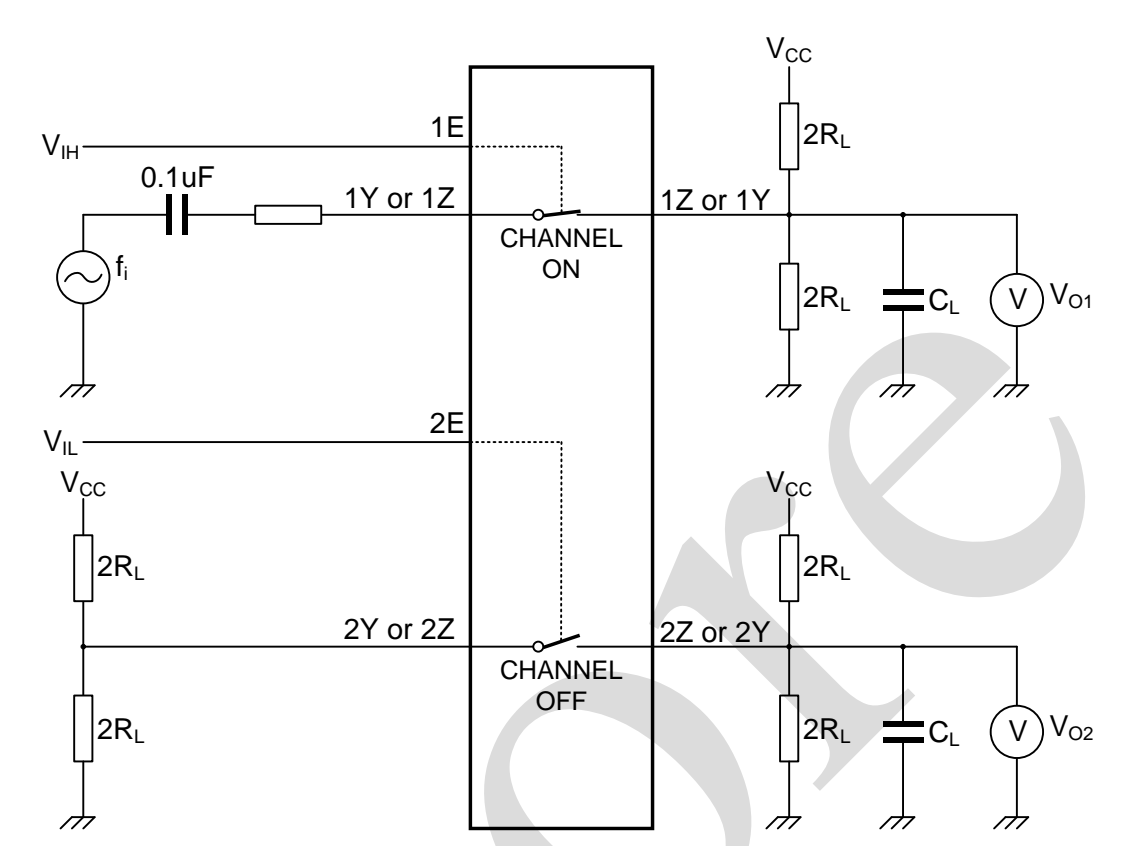


图15 测试串扰 (开关之间) 的测试电路

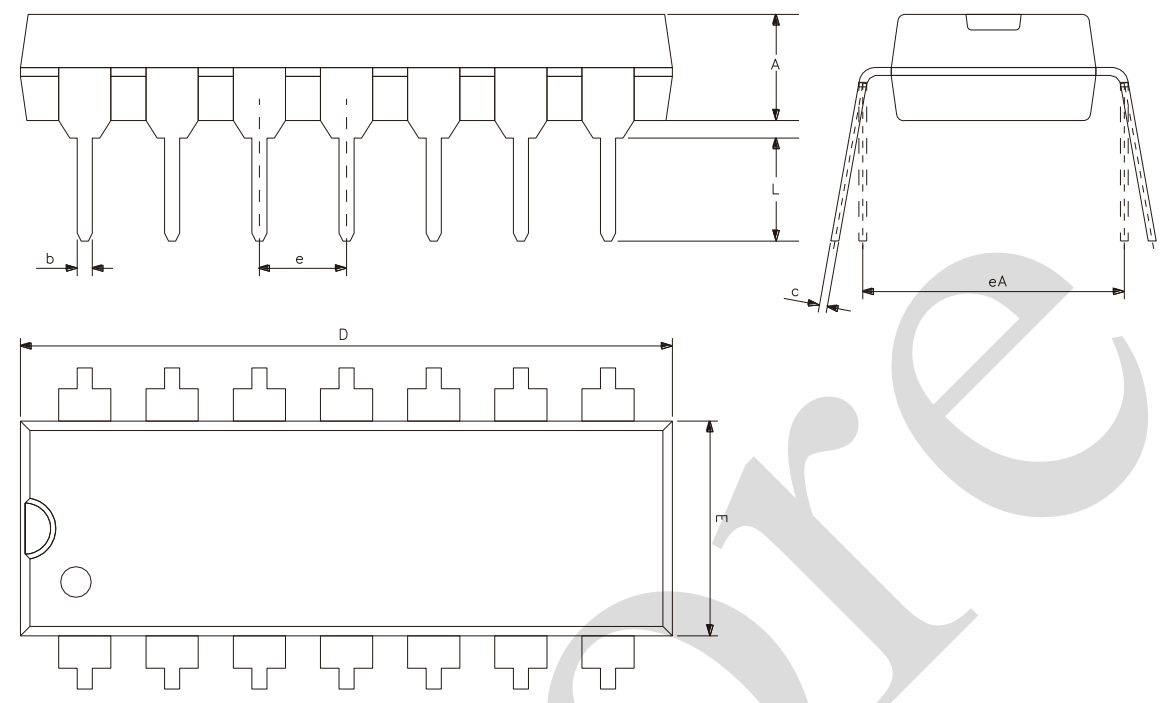


无锡中微爱芯电子有限公司 Wuxi I-CORE Electronics Co., Ltd.

编号: AiP74HC/HCT4066-AX-LJ-E010

5、封装尺寸与外形图

5.1、DIP14 外形图与封装尺寸

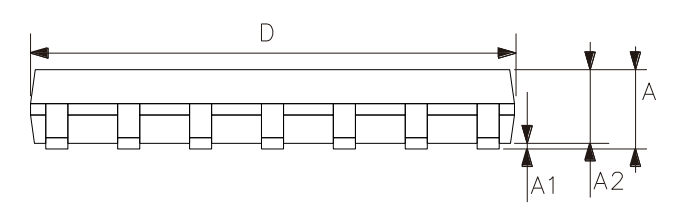


符 号	尺寸 (mm)					
ी क्र	最小	最大				
A	3.05	3.60				
b	0.33	0.56				
c	0.20	0.36				
D	18.80	19.40				
E	6.20	6.60				
e	2.:	54				
eA	7.62	10.90				
L	2.92	_				

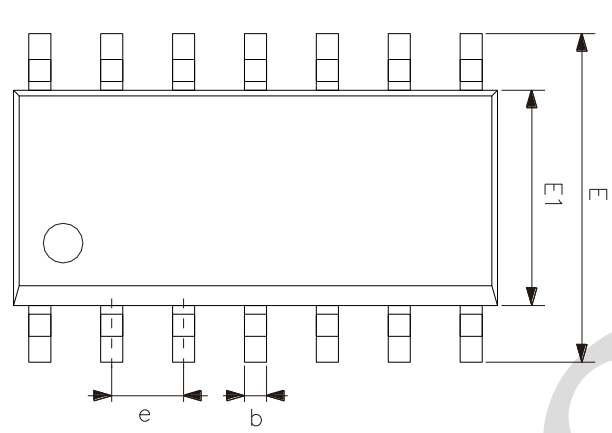
Wuxi I-CORE Electronics Co., Ltd.

编号: AiP74HC/HCT4066-AX-LJ-E010

5.2、SOP14 外形图与封装尺寸







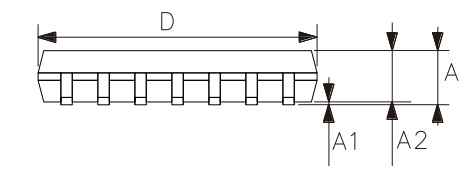




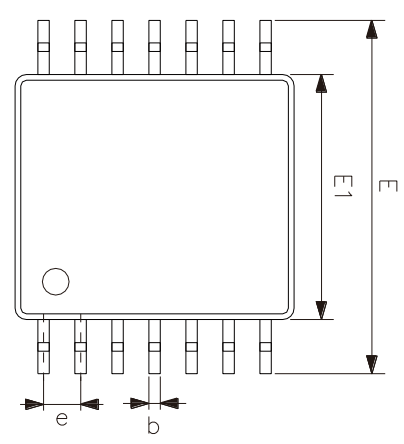
Wuxi I-CORE Electronics Co., Ltd.

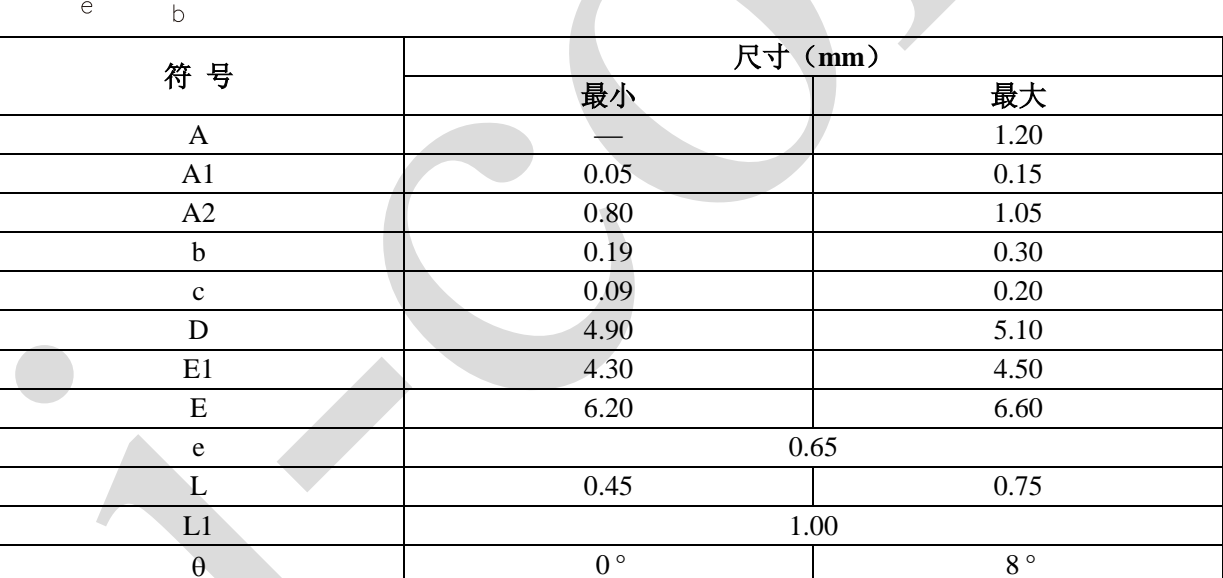
编号: AiP74HC/HCT4066-AX-LJ-E010

5.3、TSSOP14 外形图与封装尺寸











Wuxi I-CORE Electronics Co., Ltd.

编号: AiP74HC/HCT4066-AX-LJ-E010

6、声明及注意事项

表 835-11-B4

6.1、产品中有毒有害物质或元素的名称及含量

					有毒有	害物质耳				
部件名称	铅 (Pb)	汞 (Hg)	镉 (Cd)	六阶铬 (Cr (VI))	多溴联 苯 (PBBs)	多溴联 苯醚 (PBD Es)	邻苯二 甲酸二 丁酯 (DBP)	邻苯二 甲酸丁 苄酯 (BBP)	邻苯二甲 酸二 (2- 乙基巳 基)酯 (DEHP)	邻苯二甲酸 二异丁酯 (DIBP)
引线框	0	0	0	0	0	0	0	0	0	0
塑封 树脂	0	0	0	0	0	0	0	0	0	0
芯片	0	0	0	0	0	0	0	0	0	0
内引线	0	0	0	0	0	0	0	0	0	0
装片胶	0	0	0	0	0	0	0	0	0	0
说明	○:表示该有毒有害物质或元素的含量在 SJ/T11363-2006 标准的检出限以下。 ×:表示该有毒有害物质或元素的含量超出 SJ/T11363-2006 标准的限量要求。									

6.2、注意

在使用本产品之前建议仔细阅读本资料;

本资料仅供参考,本公司不作任何明示或暗示的保证,包括但不限于适用性、特殊应用或不侵犯 第三方权利等。

本产品不适用于生命救援、生命维持或安全等关键设备,也不适用于因产品故障或失效可能导致 人身伤害、死亡或严重财产或环境损害的应用。客户若针对此类应用应自行承担风险,本公司不负任 何赔偿责任。

客户负责对使用本公司的应用进行所有必要的测试,以避免在应用或客户的第三方客户的应用中出现故障。本公司不承担这方面的任何责任。

本公司保留随时对本资料所发布信息进行更改或改进的权利,本资料中的信息如有变化,恕不另行通知,建议采购前咨询我司销售人员。

请从本公司的正规渠道获取资料,如果由本公司以外的来源提供,则本公司不对其内容负责。